

# **Повторный анализ радиозатменных измерений спутника Magellan для определения характеристик внутренних волн в атмосфере Венеры**

***В.Н. Губенко, И.А. Кириллович, Т.В. Губенко,***

*ФИРЭ им. В.А. Котельникова РАН, пл. акад. Б.А. Введенского, дом 1,  
141190 Фрязино, Московская обл., Россия*

*e-mail: [vngubenko@gmail.com](mailto:vngubenko@gmail.com)*



**Двадцатая международная конференция  
«СОВРЕМЕННЫЕ ПРОБЛЕМЫ ДИСТАНЦИОННОГО  
ЗОНДИРОВАНИЯ ЗЕМЛИ ИЗ КОСМОСА»  
14 - 18 ноября 2022 г., ИКИ РАН, Москва,**

## Введение

Мы разработали оригинальный метод идентификации дискретных волновых событий и восстановления характеристик внутренних гравитационных волн (ВГВ), используя анализ индивидуального высотного профиля температуры, плотности или квадрата частоты Брента-Вяйсяля в атмосфере планет земной группы. Радиационное затухание в атмосфере Венеры на высотах более  $\sim 65$  км является основным процессом диссипации внутренних волн с вертикальной длиной волны  $< 4$  км, и этот подход был ранее использован Хинсоном и Дженкинсом для волнового анализа радиозатменных данных Magellan о температуре и интенсивности сигнала.

В качестве исходных данных для повторного анализа внутренних волн в атмосфере Венеры мы использовали профили вариаций температуры для длин волн  $<4$  км, найденные Хинсоном и Дженкинсом после высокочастотной фильтрации. Анализируемые данные о температуре были получены из измерений Magellan 5–6 октября 1991 года на трех последовательных витках (номера орбит 3212–3214). В работе проведен анализ и сравнение результатов, полученных двумя независимыми методами.

# Исходные данные для повторного анализа внутренних волн в атмосфере Венеры [Hinson and Jenkins., 1995]

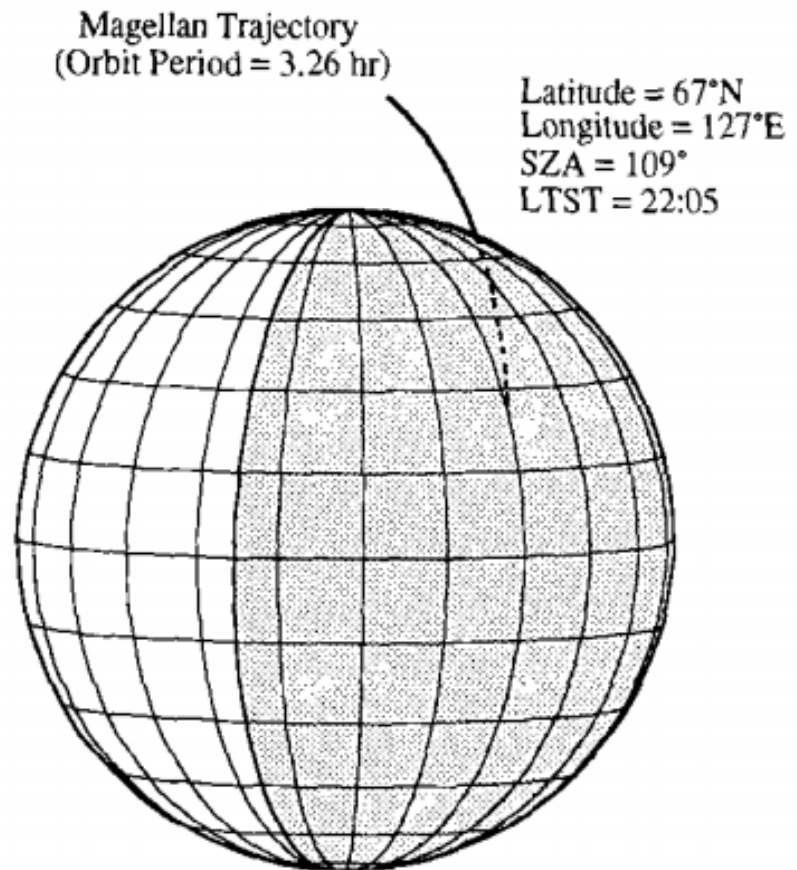


FIG. 1. Schematic view from Earth of Venus and the trajectory of Magellan. Radio occultation measurements of the neutral atmosphere began near 67°N, 127°E, where the solar zenith angle (SZA) was 109° and the local true solar time (LTST) was 22<sup>h</sup>5<sup>m</sup>. The distance from the spacecraft to the center of Venus was 6800 km. The same values apply to all three occultations—the only significant change in experiment geometry between orbits was due to the rapid rotation of Venus' atmosphere. Latitude and longitude grid lines are 15° apart.

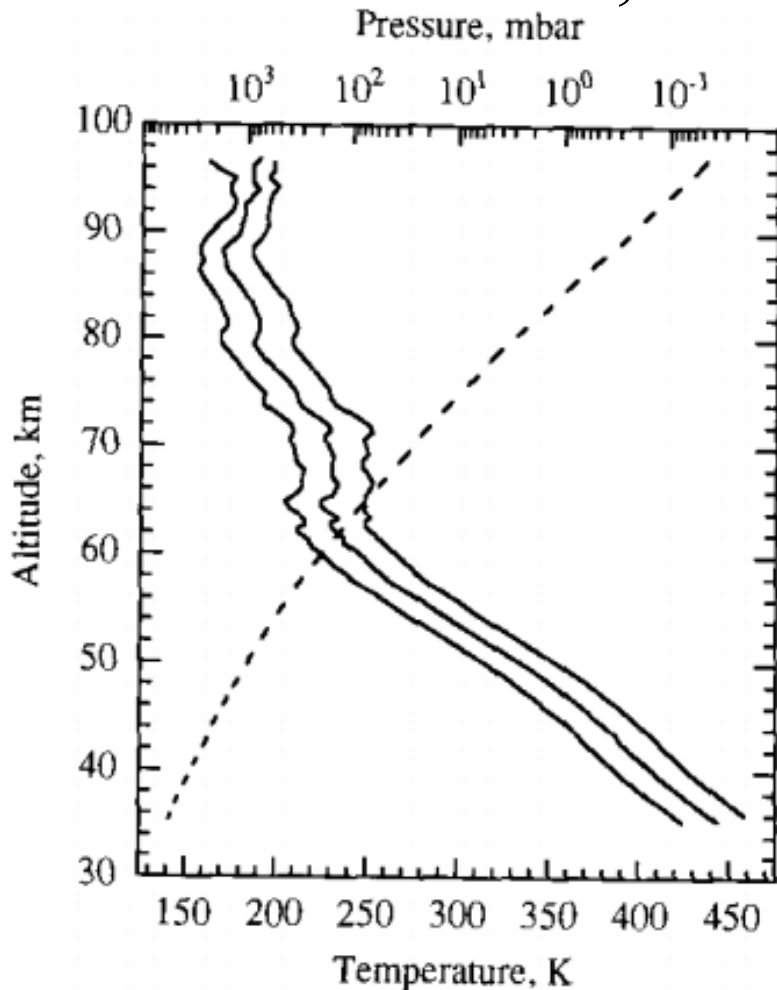
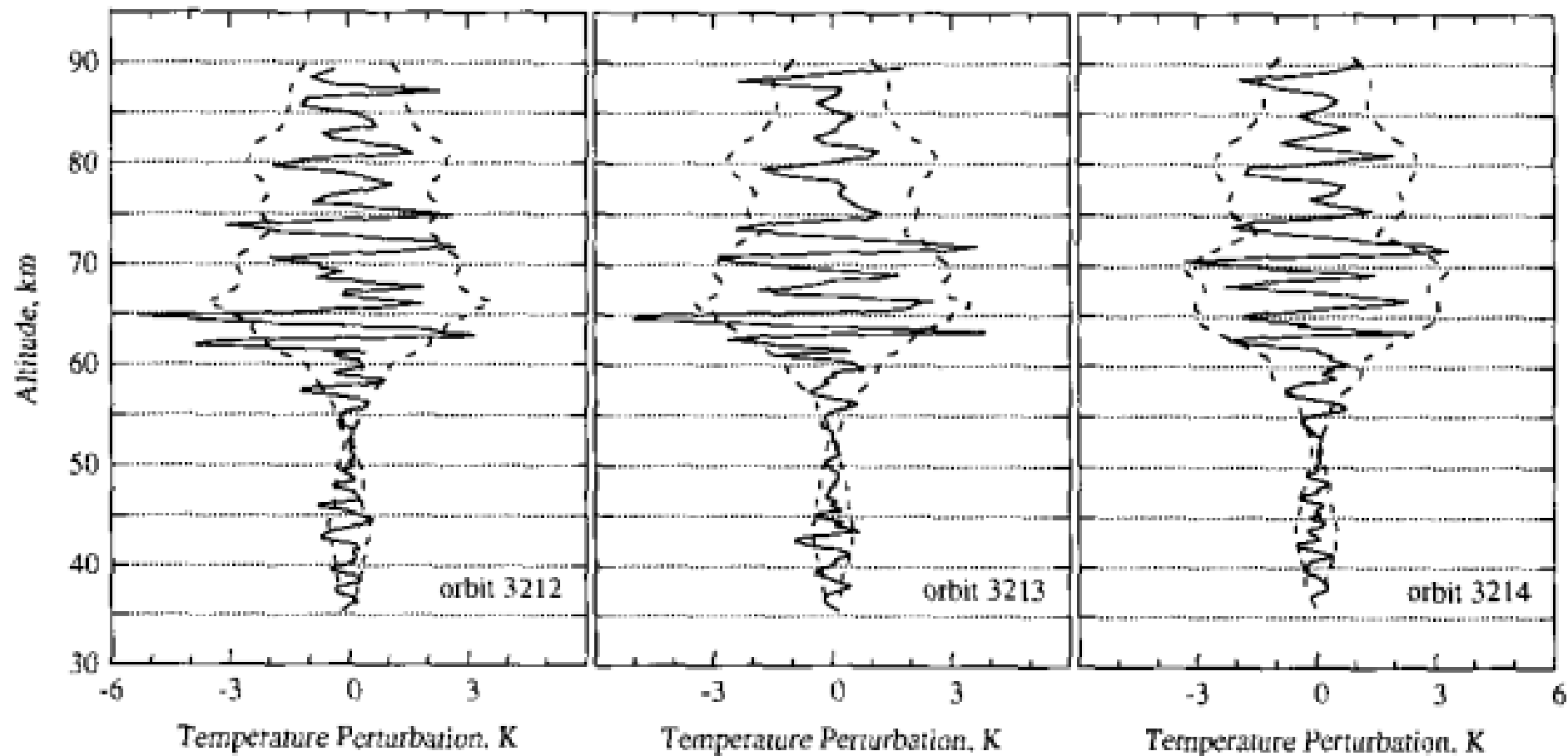


FIG. 2. Temperature profiles (solid lines) retrieved from radio occultation data on Magellan orbits 3212 (left), 3213 (center), and 3214 (right). Profiles from orbits 3212 and 3214 have been offset by  $\pm 20$  K. See Jenkins *et al.* (1994) for comparisons with previous measurements. Pressure vs altitude (dashed line) retrieved from radio occultation data on orbit 3213. Pressure profiles from the other orbits are indistinguishable on the scale of this plot.

# Профили вариаций температуры для длин волн <4 км, найденные Хинсоном и Дженкинсом после высокочастотной фильтрации [Hinson and Jenkins., 1995]



**FIG. 8.** Solid curves (data) show temperature oscillations with vertical wavelengths of  $<4$  km. Note strong similarity among measurements at altitudes above 55 km. Dashed curves (theory) show how the amplitude of the temperature oscillations is expected to vary with height for a linear wave propagating through the observed background structure in Venus' atmosphere (i.e., Figs. 2 and 4). The theory includes the effect of radiative damping, which significantly reduces the wave amplitude at altitudes above  $\sim 65$  km.

**Таблица 1.** Характеристики внутренних гравитационных волн в атмосфере Венеры, которые были получены двумя независимыми методами из радиозатменных данных о температуре, собранных 5–6 октября 1991 года, во время выполнения трех последовательных витков (орбитальные номера 3212–3214) спутника Магеллан

Исходные радиозатменные данные для анализа (статья НJ)	
Зенитный угол Солнца (SZA)	109°
Местное истинное солнечное время (LTST)	22 ч 05 мин
Широта, $\phi$	67°N
Долгота	127°E
Высота, $h$ (Радиус Венеры $R_0 = 6052$ км)	$\geq 57$ км
Ускорение гравитации $^a, g$	8.7 м/с <sup>2</sup>
Угловая скорость вращения атмосферы, $\Omega$	$-1.5 \cdot 10^{-5}$ рад/с (в западном направлении)
Параметр Кориолиса, $ f  =  2\Omega \cdot \sin \phi $	$2.7 \cdot 10^{-5}$ рад/с (на широте 67°N)
Инерционный период, $\tau_f = 2\pi/ f $	$\sim 64.6$ ч $\approx 2.7$ суток (на широте 67°N)
Невозмущенная температура $^{a,*}, T_b$	$\sim 230$ K
Невозмущенная частота плавучести $^{a,*}, N_b$	$\sim 2.13 \cdot 10^{-2}$ рад/с
Вертикальная длина волны $^a, \lambda_z = 2\pi/ m $	2.5 км
Вертикальное волновое число $^a,  m $	$\sim 2.5 \cdot 10^{-3}$ м <sup>-1</sup>
Амплитуда возмущений температуры $^a,  T' $	4.0 K
Нормированная амплитуда температурных возмущений $^{a,*},  T'/T_b $	$\sim 17.4 \cdot 10^{-3}$

# Таблица 1 (продолжение).

Характеристики внутренней гравитационной волны	
Относительная волновая амплитуда <sup>a</sup> , $a_e \equiv  u'  /  c_{ph}^{in} $	~0.83 (наши результаты) 0.82 (вычислено для результатов статьи НJ)
Собственная частота волны <sup>a</sup> , $\omega$	~ $3.9 \cdot 10^{-5}$ рад/с (наши результаты) ~ $2 \cdot 10^{-4}$ рад/с (параметр $\sigma$ в статье НJ)
Собственный период волны <sup>a</sup> , $\tau^{in} = 2\pi/\omega$	~44.8 ч ≈ 1.9 суток (наши результаты) ~9 ч (величина $2\pi/\sigma$ в статье НJ)
Отношение $f/\omega$	~0.69 (наши результаты) ~0.14 (величина $f/\sigma$ в статье НJ)
Собственная горизонтальная фазовая скорость <sup>a</sup> , $ c_{ph}^{in}  = \omega /  k_h $	~11.8 м/с (наши результаты) 8.5 м/с (величина $N/m$ в статье НJ)
Горизонтальное волновое число <sup>a</sup> , $ k_h  = \omega /  c_{ph}^{in} $	~ $0.33 \cdot 10^{-5}$ м <sup>-1</sup> (наши результаты) ~ $2.33 \cdot 10^{-5}$ м <sup>-1</sup> (вычислено из статьи НJ)
Горизонтальная длина волны <sup>a</sup> , $\lambda_h = 2\pi/ k_h $	~1895 км (наши результаты) 270 км (длина волны в “меридиональном” направлении в статье НJ)
Амплитуда возмущений скорости в направлении горизонтальной составляющей вектора распространения, $ u'  = a_e \cdot  c_{ph}^{in} $	~9.9 м/с (наши результаты) 7.0 м/с (амплитуда “меридиональных” возмущений скорости в статье НJ)
Амплитуда возмущений скорости, перпендикулярных горизонтальному вектору распространения, $ v'  = f/\omega \cdot  u' $	~6.8 м/с (наши результаты) 0.7 м/с (амплитуда “зональных” возмущений скорости в статье НJ)
Амплитуда вертикальных возмущений скорости ветра, $ w'  = \lambda_z / \lambda_h \cdot  u' $	~ $1.3 \cdot 10^{-2}$ м/с (наши результаты) 0.07 м/с (амплитуда вертикальных возмущений скорости в статье НJ)

<sup>a</sup> На высоте 65 км, \* вычислено нами на основе данных статьи НJ

# Анализ радиозатменных данных Magellan о температуре SWA-методом и обсуждение полученных результатов

Оценка собственной частоты волны Хинсона и Дженкинса [4] основана на предположении, что наблюдаемое ослабление волновой амплитуды на высотах более ~65 км обусловлено радиационным демпингом. С этой целью они анализировали ослабление температурных осцилляций в трех профилях Magellan в высотном интервале от ~65 до ~90 км.

Наш SWA-метод использует только характеристики локальной аномалии температуры на высоте ~65 км, связанной с монохроматической ВГВ. Данными характеристиками являются: амплитуда возмущений температуры  $|T'| = 4 \text{ К}$ , их вертикальная длина волны  $|\lambda_z| = 2\pi/|m| = 2.5 \text{ км}$ , фоновая абсолютная температура  $T_b = 230 \text{ К}$ , нормированная амплитуда  $|\hat{T}'| = |T'/T_b| = 17 \cdot 10^{-3}$  температурных возмущений и фоновая частота Брента-Вяйсяля  $N_b = 0.021 \text{ рад/с}$ . Эти величины были определены Хинсоном и Дженкинсом [4] и они представлены в верхней части таблицы 1 в качестве исходных данных для нашего анализа. Используя указанные выше величины и уравнение (12) работы [10], мы восстановили значения относительной волновой амплитуды  $a_e$  и других характеристик ВГВ. Таким образом, для получения наших локальных оценок не требуется анализ флюктуаций температуры в полном высотном диапазоне 65–90 км.

# Анализ радиозатменных данных Magellan о температуре SWA-методом и обсуждение полученных результатов (продолжение)

Используя уравнение (12) работы [10] и указанные данные о вертикальной длине волны, фоновой частоте плавучести, ускорении свободного падения, нормированной амплитуде температурных возмущений, мы определили относительную амплитуду волны  $a_e = 0.83$ . Эта величина удовлетворяет критерию идентификации ВГВ  $a_e \leq 1$ , поэтому волнообразные осцилляции температуры в радиозатменных данных Magellan можно рассматривать как индуцированные волной. Основываясь на результатах НЖ-статьи [4] об амплитуде  $|u'|$  и собственной горизонтальной фазовой скорости, мы также вычислили относительную волновую амплитуду  $\sim 0.82$ . Ключевой параметр  $f/\omega$  определялся с помощью следующего уравнения:

$$f/\omega = \frac{2\sqrt{1-a}}{2-a} = \frac{2\sqrt{1-a_e/d_e}}{2-a_e/d_e}. \quad (1)$$

Полагая, что степень насыщения волны равна  $d_e = 1 = 100\%$  (предположение о насыщении волны), из (1) находим, что отношение  $f/\omega$  равно  $\sim 0.69$ . Используя значение  $|f| = 2.7 \cdot 10^{-5}$  рад/с на  $67^\circ\text{N}$ , мы определили собственную частоту  $\omega = 3.9 \cdot 10^{-5}$  рад/с и период волны  $\tau^{\text{in}} = 44.8$  часа = 1.9 дня. Последнее значение в  $\sim 5$  раз больше, чем период волны  $\sim 9$  часов, приведенный в работе [4]. В таблице 1 представлены все характеристики ВГВ, которые были вычислены нами по температурным данным спутника Magellan с использованием SWA-метода.

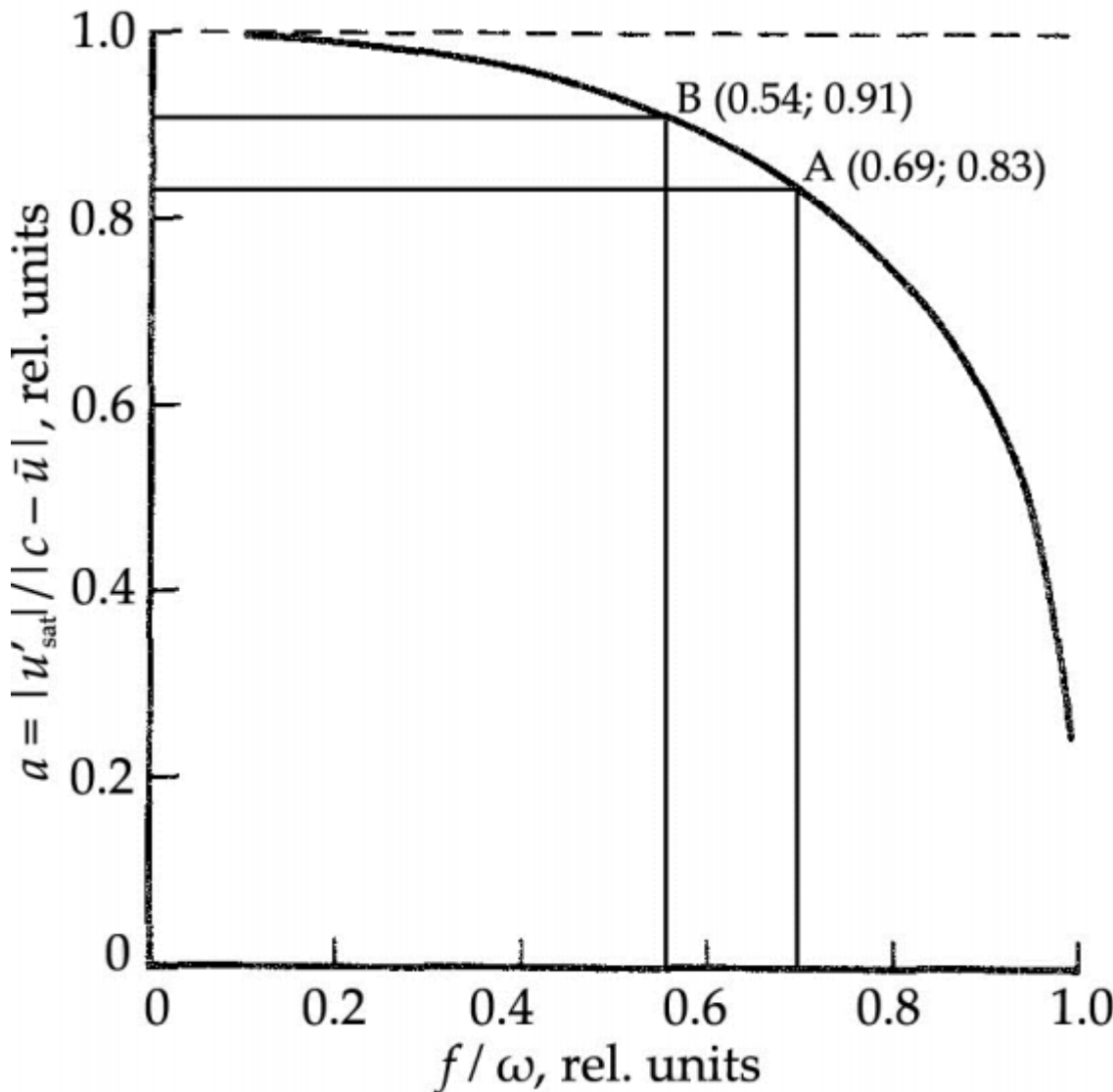
# Сравнение полученных нами результатов с результатами работы Хинсона и Дженкинса

Сравнение наших результатов с данными, полученными в работе [4], демонстрирует существенные различия. Наша оценка собственной горизонтальной фазовой скорости ( $\sim 11.8$  м/с) и амплитуды возмущений скорости  $|u'|$  ( $\sim 9.9$  м/с) в 1.4 раза больше соответствующих оценок  $\sim 8.5$  м/с и  $\sim 7.0$  м/с, полученных в [4]. Мы видим, что оценки  $|c_{ph}^{in}|$  и  $|u'|$  полученные двумя независимыми методами, отличаются друг от друга на  $\sim 28\%$  и  $\sim 29\%$ , соответственно. Значение горизонтальной длины волны, полученное SWA-методом ( $\sim 1895$  км), примерно в 7 раз превышает соответствующее значение  $\sim 270$  км, найденное Хинсоном и Дженкинсом [4]. Одной из причин наблюдаемых различий являются погрешности используемых методов. Хинсон и Дженкинс [4] заявляют, что возможная погрешность их метода составляет  $\sim 50\%$  [4, стр. 322]. Принимая во внимание результаты, полученные в работах [17–19], мы полагаем, что следующие два предположения, приведенные в HJ-статье [4] (стр. 319, левая колонка), могут быть причиной значительных систематических погрешностей:

1. “Волновая амплитуда недостаточна, чтобы вызвать конвективную неустойчивость, которая является альтернативным механизмом затухания”.
2. “Аналогично, сдвиговая неустойчивость ветра вряд ли может быть причиной наблюданного затухания, поскольку волновая амплитуда, по-видимому, также недостаточна для запуска указанного эффекта”.

Кроме того, авторы HJ-статьи [4, стр. 320, правая колонка] использовали упрощенное дисперсионное соотношение для ВГВ с промежуточными собственными частотами  $N_b \gg \omega \gg f$ , в котором заранее исключаются низкочастотные внутренние волны.

# Возможные погрешности восстановления волновых характеристик SWA-методом в атмосфере Венеры



Для анализа радиозатменных данных о температуре Magellan, мы используем SWA-метод и предположение о насыщении ВГВ. Иногда это предположение не выполняется, что приводит к некоторым систематическим ошибкам при применении SWA-метода и искажению восстанавливаемых волновых характеристик [15].

Рис. 1. Нормированная волновая амплитуда (пороговая амплитуда)  $a$ , необходимая для возникновения сдвиговой неустойчивости ветра ( $Ri < 1/4$ ), как функция отношения  $f/\omega$ . Волновая амплитуда ( $a = 1$ ), требуемая для конвективной неустойчивости показана штриховой линией [17].

# Возможные погрешности восстановления волновых характеристик SWA-методом в атмосфере Венеры (продолжение)

Рассмотрим оценки погрешности, связанные с тем, что точное значение  $a$  может отличаться от  $a_e$ . Будем считать полностью насыщенную волну  $a_e = a = 0.83$ , но в общем случае пороговая амплитуда  $a$  может быть произвольной, подчиняясь неравенству  $1 \geq a \geq a_e$ . Так, возможные значения степени насыщения находятся в интервале  $1 \geq d_e \geq a_e$ , или  $83\% \leq d_e \leq 100\%$ . Одновременные радиозондовые исследования температуры и скорости ветра показывают, что в большинстве случаев наблюдаются насыщенные ВГВ; однако возможны и исключения [15]. Мы принимаем разумное отклонение  $\sim 10\%$  для значений  $a_e$  и  $a$ . Точки А и В на рис. 1 обозначают полученные нами результаты и отклонение 10%: А ( $f/\omega = 0.69$ ;  $a_e = 0.83$ ) и В ( $f/\omega = 0.54$ ;  $a = 0.91$ ). Значение  $f/\omega = 0.54$  было рассчитано с помощью уравнения (12) со значением  $a = 0.91$ . Итак, мы видим, что относительная неопределенность для  $f/\omega$  равна  $\sim 22\%$ . Нами были найдены и другие характеристики внутренних волн для данного случая В. Их величины составляют:  $\omega = 5.0 \cdot 10^{-5}$  рад/с ( $\sim 28\%$ );  $\tau^{\text{in}} = 34.9$  ч ( $\sim 22\%$ );  $|c_{\text{ph}}^{\text{in}}| = 9.9$  м/с ( $\sim 16\%$ );  $|k_h| = 0.50 \cdot 10^{-5}$  м $^{-1}$  ( $\sim 52\%$ );  $\lambda_h = 1260$  км ( $\sim 34\%$ );  $|u'| = 9.0$  м/с ( $\sim 9\%$ );  $|v'| = 4.9$  м/с ( $\sim 28\%$ );  $|w'| = 1.8 \cdot 10^{-2}$  м/с ( $\sim 39\%$ ). В скобках указаны относительные ошибки для этих параметров. Мы видим, что отклонение значений  $a_e$  и  $a$  на  $\sim 10\%$  приводит к относительным погрешностям восстановленных характеристик ВГВ от  $\sim 9\%$  до  $\sim 52\%$ .

## ВЫВОДЫ

Наблюдаемые большие различия между параметрами волн, восстановленными двумя независимыми методами, могут быть связаны с ошибочными предположениями и значительными систематическими погрешностями используемых методов. Существует простое возможное объяснение, позволяющее согласовать результаты, полученные двумя независимыми методами. Данные, полученные в работе [4], могут свидетельствовать о том, что анализируемая внутренняя волна является ненасыщенной. Значения пороговой амплитуды  $a$  и степени насыщения  $d$ , рассчитанные на основе данных [4], составляют  $\sim 0.99$  и  $\sim 83\%$  соответственно. Если эти оценки являются достоверными, то предположение о насыщении волновой амплитуды может не выполняться. Учитывая поправку ( $d_e = d = 0.83 = 83\%$ ) в выражении (1), можно согласовать результаты, полученные двумя независимыми методами.

*Работа выполнена в рамках государственного задания.*

# ЛИТЕРАТУРА

1. Rossow, W.B., Del Genio, A.D., Limaye, S.S., Travis, L.D., Stone, P.H. Cloud morphology and motions from Pioneer Venus images. *J. Geophys. Res.* 1980, 85, 8107–8128.
2. Seiff, A., Kirk, D.B., Young, R.E., Blanchard, R.C., Findlay, J.T., Kelley, G.M., Summer, S.C. Measurements of thermal structure and thermal contrasts in the atmosphere of Venus and related dynamical observations: Results from the four Pioneer Venus pros. *J. Geophys. Res.* 1980, 85, 7903–7933.
3. Counselman, C.C. III, Gourevitch, S.A., King, R.W., Loriot, G.B. Zonal and meridional circulation of the lower atmosphere of Venus determined by radio interferometry. *J. Geophys. Res.* 1980, 85, 8026–8030.
4. Hinson, D.P., Jenkins, J.M. Magellan radio occultation measurements of atmospheric waves on Venus. *Icarus.* 1995, 114, 310–327.
5. Yakovlev, O.I., Matyugov, S.S., Gubenko, V.N. Venera-15 and -16 middle atmosphere profiles from radio occultations: Polar and near-polar atmosphere of Venus. *Icarus.* 1991, 94, 493–510, doi: 10.1016/0019-1035(91)90243-M.
6. Gubenko, V.N., Andreev, V.E., Pavelyev, A.G. Detection of layering in the upper cloud layer of Venus northern polar atmosphere observed from radio occultation data. *J. Geophys. Res.* 2008. 113, E03001, doi: 10.1029/2007JE002940.
7. Tellmann, S., Hausler, B., Hinson, D.P., Tyler, G.L., Andert, T.P., Bird, M.K., Imamura, T., Patzold, M., Remus, S. Small-scale temperature fluctuations seen by the VeRa Radio Science Experiment on Venus Express. *Icarus.* 2012, 221, 471–480.
8. Kliore, A.J., Patel, I.R. Vertical structure of the atmosphere of Venus from Pioneer Venus Orbiter radio occultations. *J. Geophys. Res.* 1980, 85, 7957–7962.
9. Gubenko, V.N., Kirillovich, I.A., Gubenko, D.V., Andreev, V.E., Gubenko, T.V. Activity of small-scale internal waves in the northern polar atmosphere of Venus by radio occultation measurements of signal intensity ( $\Lambda = 32$  cm) from Venera-15 and -16 satellites. *Solar System Research.* 2021, 55, 3–12, doi: 10.1134/S0038094621010044.
10. Gubenko, V.N., Pavelyev, A.G., Andreev, V.E. Determination of the intrinsic frequency and other wave parameters from a single vertical temperature or density profile measurement. *J. Geophys. Res.* 2008, 113, D08109, doi: 10.1029/2007JD008920.
11. Gubenko, V.N., Pavelyev, A.G., Salimzyanov, R.R., Pavelyev, A.A. Reconstruction of internal gravity wave parameters from radio occultation retrievals of vertical temperature profiles in the Earth's atmosphere. *Atmos. Meas. Tech.* 2011, 4, 2153–2162, doi: 10.5194/amt-4-2153-2011.
12. Gubenko, V.N., Pavelyev, A.G., Salimzyanov, R.R., Andreev, V.E. A method for determination of internal gravity wave parameters from a vertical temperature or density profile measurement in the Earth's atmosphere. *Cosmic Res.* 2012, 50, 21–31, doi: 10.1134/S0010952512010029.
13. Gubenko, V.N., Kirillovich, I.A., Pavelyev, A.G. Characteristics of internal waves in the Martian atmosphere obtained on the basis of an analysis of vertical temperature profiles of the Mars Global Surveyor mission. *Cosmic Res.* 2015, 53, 133–142, doi: 10.1134/S0010952515020021.
14. Gubenko, V.N., Pavelyev, A.G., Kirillovich, I.A., Liou, Y.-A. Case study of inclined sporadic E layers in the Earth's ionosphere observed by CHAMP/GPS radio occultations: Coupling between the tilted plasma layers and internal waves. *Adv. Space Res.* 2018, 61, 1702–1716, doi: 10.1016/j.asr.2017.10.001.
15. Gubenko, V.N., Kirillovich, I.A. Diagnostics of internal atmospheric wave saturation and determination of their characteristics in Earth's stratosphere from radiosonde measurements. *Sol.-Terr. Phys.* 2018, 4, 41–48, doi: 10.12737/stp-42201807.
16. Rechou, A., Kirkwood, S., Arnault, J., Dalin, P. Short vertical-wavelength inertia gravity waves generated by a jet-front system at Arctic latitudes — VHF radar, radiosondes, and numerical modeling. *Atmos. Chem. Phys.* 2014, 14, 6785–6799, doi: 10.5194/acp-14-6785-2014.
17. Fritts, D.C. A review of gravity wave saturation processes, effects, and variability in the middle atmosphere. *Pure Appl. Geophys.* 1989, 130, 343–371.
18. Fritts, D.C., Rastogi, P.K. Convective and dynamical instabilities due to gravity motions in the lower and middle atmosphere: Theory and observations. *Radio Sci.* 1985, 20, 1247–1277.
19. Dunkerton, T.J. Inertia-gravity waves in the stratosphere. *J. Atmos. Sci.* 1984, 41, 3396–3404.

Спасибо за внимание!